

Brown 運動の数学

確率過程・確率解析 (2)

緒方 秀教

電気通信大学 大学院情報理工学研究科 情報・ネットワーク工学専攻

2021 年 8 月 3 日 (火)

今回のテーマ

試行の繰り返し.

試行の繰り返しで見えてくるものがある.

- 大数の法則
- 中心極限定理

Brown 運動 (確率過程): 確率的移動の積み重ね.

- 酔歩
- Wiener 過程…Brown 運動の数学モデル
- 確率過程を考える確率空間

(1/3) 大数の法則

確率は直接にはわからない.

では, どうやって確率を調べるかというと...

- サイコロの 1 の目が出る確率は $\frac{1}{6}$.

サイコロを 60 回投げたら, 10 回くらい 1 の目が出る.

- コイン投げで表の出る確率は $\frac{1}{2}$.

コイン投げを 100 回やったら, 50 回くらい表が出る.

- ...

同じ試行を繰り返して着目する事象の起こる割合を勘定したら, それが (ほぼ) 事象の確率である. ...大数の法則

(1/3) 大数の法則

大数の法則 (Bernoulli)

- 1 回の試行で事象 E が確率 p で起こるとする.
- X_n : この試行を各回独立に n 回行い, 事象 E が起こる回数.

任意の $\epsilon > 0$ に対し $N = N(\epsilon) \in \mathbb{Z}_{>0}$ を十分大きく取れば,

$$P\left(\left|\frac{X_n}{n} - p\right| > \epsilon\right) < \epsilon \quad (\forall n > N).$$

数多く試行すれば, 確率的に

事象が起こる回数の割合 \approx 事象が起こる確率.

(1/3) 大数の法則 (証明)

まず, 次の不等式を準備する.

Chebyshev の不等式

$$P(|X - E(X)| > a\sigma(X)) \leq \frac{1}{a^2} \quad (\forall a > 0).$$

$\therefore m = E(X)$ とおく.

$$\begin{aligned}\sigma(X)^2 &= \int_{\Omega} (X - m)^2 P(d\omega) \geq \int_{|X - m| > a\sigma(X)} (X - m)^2 P(d\omega) \\ &\geq a^2 \sigma(X)^2 \int_{|X - m| > a\sigma(X)} P(d\omega) \\ &= a^2 \sigma(X)^2 P(|X - m| > a\sigma(X)).\end{aligned}$$



(1/3) 大数の法則 (証明)

(大数の法則の証明) 確率変数 Y_i ($1 \leq i \leq n$) を次で定める.

$$Y_i = \begin{cases} 1 & i \text{ 回目の試行で事象 } E \text{ が起こる} \\ 0 & i \text{ 回目の試行で事象 } E \text{ が起こらない.} \end{cases}$$

Y_1, \dots, Y_n は独立. このとき $X_n = Y_1 + \dots + Y_n$ であり,

$$\begin{aligned} E\left(\frac{X_n}{n}\right) &= \frac{1}{n} \{E(Y_1) + \dots + E(Y_n)\} = \overbrace{\frac{p + \dots + p}{n}}^{n \text{ 個}} = p, \\ E\left(\frac{X_n^2}{n^2}\right) &= \frac{1}{n^2} \left\{ \sum_{i=1}^n E(Y_i^2) + 2 \sum_{i < j} E(Y_i Y_j) \right\} \\ &= \frac{1}{n^2} \left\{ \sum_{i=1}^n E(Y_i^2) + 2 \sum_{i < j} E(Y_i) E(Y_j) \right\} \\ &= \frac{1}{n^2} \left\{ np + n(n-1)p^2 \right\} = \frac{p}{n} + \frac{n-1}{n} p^2, \\ V\left(\frac{X_n}{n}\right) &= E\left(\frac{X_n^2}{n^2}\right) - E\left(\frac{X_n}{n}\right)^2 = \frac{p(1-p)}{n}. \end{aligned}$$

(1/3) 大数の法則 (証明)

Chebyshev の不等式を X_n/n に適用して,

$$P\left(\left|\frac{X_n}{n} - p\right| > a\sqrt{\frac{p(1-p)}{n}}\right) < \frac{1}{a^2} \quad (\forall a > 0).$$

とくに $a^2 = 1/\epsilon$ ととり, $\sqrt{\frac{p(1-p)}{N}} < \epsilon^{3/2}$ となるように $N \in \mathbb{Z}_{>0}$ を取れば,
 $n > N$ のとき

$$a\sqrt{\frac{p(1-p)}{n}} \leq a\sqrt{\frac{p(1-p)}{N}} < \frac{1}{\sqrt{\epsilon}} \cdot \epsilon^{3/2} = \epsilon$$

となるから,

$$P\left(\left|\frac{X_n}{n} - p\right| > \epsilon\right) \leq P\left(\left|\frac{X_n}{n} - p\right| > a\sqrt{\frac{p(1-p)}{n}}\right) \leq \epsilon.$$



(2/3) 中心極限定理

中心極限定理

たくさんの試行の和を取ると、その確率分布は正規分布に近くなる.

もとの試行はどのような確率分布に従おうとも…

(復習) 正規分布 $N(m, \sigma^2)$

$$P(x \leq X < x + dx) = \mu(x)dx,$$

$$\text{確率密度 } \mu(x) = \frac{1}{\sqrt{2\pi}\sigma} \exp\left(-\frac{(x-m)^2}{2\sigma^2}\right),$$

(2/3) 中心極限定理：特性関数

(準備)「特性関数」を定義する.

確率密度 $\mu(x)$ の特性関数

$$\varphi(z) = \int_{-\infty}^{\infty} \mu(x) e^{izx} dx \quad (\text{確率密度の Fourier 変換}).$$

確率に Fourier 変換は一見、あまり関係なさそうに見えるが…

正規分布 $N(m, \sigma^2)$ の場合.

$$\text{確率密度 } \mu(x) = \frac{1}{\sqrt{2\pi}\sigma} \exp\left(-\frac{(x-m)^2}{2\sigma^2}\right),$$

$$\varphi(z) = \frac{1}{\sqrt{2\pi}\sigma} \int_{-\infty}^{\infty} \exp\left(-\frac{(x-m)^2}{2\sigma^2}\right) \exp(izx) dx,$$

$$\therefore \text{特性関数 } \varphi(z) = \exp\left(-\frac{\sigma^2}{2} z^2 + imz\right).$$

(2/3) 中心極限定理：特性関数

X, Y : 独立な確率変数, 確率密度 μ_X, μ_Y , 特性関数 $\varphi_X(z), \varphi_Y(z)$.
和 $Z = X + Y$ について,

$$Z(\omega) = x \Leftrightarrow \exists y \text{ s.t. } X(\omega) = y \text{ \& } Y(\omega) = x - y,$$
$$\mu_Z(x) = \int_{-\infty}^{\infty} \mu_X(y) \mu_Y(x - y) dy =: \mu_X * \mu_Y(x) \quad \text{畳み込み積},$$

Fourier 変換の性質より,

$$\varphi_Z(z) = \int_{-\infty}^{\infty} (\mu_X * \mu_Y)(x) e^{izx} dx = \varphi_X(z) \varphi_Y(z).$$

(2/3) 中心極限定理：特性関数

X, Y : 独立な確率変数, 確率密度 μ_X, μ_Y , 特性関数 $\varphi_X(z), \varphi_Y(z)$.
和 $Z = X + Y$ について,

$$Z(\omega) = x \Leftrightarrow \exists y \text{ s.t. } X(\omega) = y \text{ \& } Y(\omega) = x - y,$$
$$\mu_Z(x) = \int_{-\infty}^{\infty} \mu_X(y) \mu_Y(x - y) dy =: \mu_X * \mu_Y(x) \quad \text{畳み込み積},$$

Fourier 変換の性質より,

$$\varphi_Z(z) = \int_{-\infty}^{\infty} (\mu_X * \mu_Y)(x) e^{izx} dx = \varphi_X(z) \varphi_Y(z).$$

X, Y を独立な確率変数とすると,

$$\begin{aligned}\mu_{X+Y}(x) &= \mu_X * \mu_Y(x), \\ \varphi_{X+Y}(z) &= \varphi_X(z) \varphi_Y(z).\end{aligned}$$

(2/3) 中心極限定理：特性関数

$\varphi_Z(z) = \varphi_X(z)\varphi_Y(z)$ の証明.

$$\begin{aligned}\varphi_Z(z) &= \int_{-\infty}^{\infty} (\varphi_X * \varphi_Y)(x) e^{izx} dx \\&= \int_{-\infty}^{\infty} \left\{ \int_{-\infty}^{\infty} \varphi_X(y) \varphi_Y(x-y) dy \right\} e^{izx} dx \\&\quad (\text{積分順序を交換する}) \\&= \int_{-\infty}^{\infty} \varphi_X(y) \left\{ \int_{-\infty}^{\infty} \varphi_Y(x-y) e^{iz(x-y)} dx \right\} e^{izy} dy \\&= \mu_Y(z) \int_{-\infty}^{\infty} \varphi_X(y) e^{izy} dy \\&= \mu_X(z) \mu_Y(z).\end{aligned}$$



(2/3) 中心極限定理

中心極限定理

X_1, \dots, X_n : 同一の確率分布に従う独立な確率変数. 平均 0, 分散 1.

$$Z_n = \frac{X_1 + \dots + X_n}{\sqrt{n}}$$

の確率分布は極限 $n \rightarrow \infty$ において, 標準正規分布 $N(0, 1)$ に近づく.

X_k ($1 \leq k \leq n$) がどんな確率分布に従おうと, 成立する.

(2/3) 中心極限定理

中心極限定理

X_1, \dots, X_n : 同一の確率分布に従う独立な確率変数. 平均 0, 分散 1.

$$Z_n = \frac{X_1 + \dots + X_n}{\sqrt{n}}$$

の確率分布は極限 $n \rightarrow \infty$ において, 標準正規分布 $N(0, 1)$ に近づく.

X_k ($1 \leq k \leq n$) がどんな確率分布に従おうと, 成立する.

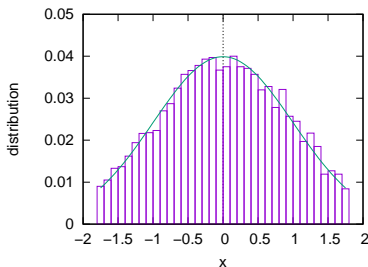
X_1, \dots, X_n : 同一の確率分布に従う独立な確率変数. 平均 0, 分散 σ^2 .
 n が大きいとき,

$$\mu_{X_1 + \dots + X_n}(x) \simeq \frac{1}{\sqrt{2\pi n\sigma}} \exp\left(-\frac{x^2}{2n\sigma^2}\right).$$

(2/3) 中心極限定理

数値実験で中心極限定理を確認.

- X_n : 区間 $[-\sqrt{3} : \sqrt{3}]$ 上に一様に値を取る確率変数 (乱数).
- $Z_n = \frac{X_1 + \cdots + X_n}{\sqrt{n}} \quad (n = 100).$
- 10000 回試行して, Z_n の分布を求めた.



(曲線は正規分布のグラフ)

(2/3) 中心極限定理：証明

X_1, \dots, X_n に共通の確率密度を μ , $Z_n = (X_1 + \dots + X_n)/\sqrt{n}$ の確率密度を μ_n とすると,

$$\mu_n(x) = \sqrt{n} \underbrace{(\mu * \dots * \mu)}_{n \text{ 個}}(\sqrt{n}x).$$

X_1, \dots, X_n の特性関数を φ , Z_n の特性関数を φ_n とすると,

$$\begin{aligned}\varphi_n(z) &= \sqrt{n} \int_{-\infty}^{\infty} (\mu * \dots * \mu)(\sqrt{n}x) e^{izx} dx \\ &= \int_{-\infty}^{\infty} (\mu * \dots * \mu)(\xi) e^{i(z/\sqrt{n})\xi} d\xi, \\ \therefore \varphi_n(z) &= \left\{ \varphi\left(\frac{z}{\sqrt{n}}\right) \right\}^n.\end{aligned}$$

$\varphi_n(z)$ の $z = 0$ における Taylor 級数展開を求める.

(2/3) 中心極限定理：証明

全確率 = 1 より,

$$\varphi(0) = \int_{-\infty}^{\infty} e^{izx} \mu(x) dx \Big|_{z=0} = 1.$$

$E(X_k) = 0$, $V(X_k) = 1$ より,

$$\varphi'(0) = \int_{-\infty}^{\infty} ix e^{izx} \mu(x) dx \Big|_{z=0} = 0, \quad \varphi''(0) = - \int_{-\infty}^{\infty} x^2 e^{izx} \mu(x) dx \Big|_{z=0} = -1,$$

$$\therefore \varphi\left(\frac{z}{\sqrt{n}}\right) = 1 - \frac{z^2}{2n} + o\left(\frac{1}{n}\right),$$

$$\varphi_n(z) = \left(1 - \frac{z^2}{2n}\right)^n + o(1) = e^{-z^2/2} + o(1).$$

ここで個々の確率分布の「個性」は消える。

この逆 Fourier 変換をとり, 極限 $n \rightarrow \infty$ をとると,

$$\lim_{n \rightarrow \infty} \mu_n(x) = \frac{1}{\sqrt{2\pi}} \int_{-\infty}^{\infty} e^{-izx} e^{-z^2/2} dz = \frac{1}{\sqrt{2\pi}} e^{-x^2/2}.$$

右辺は標準正規分布 $N(0, 1)$ の確率密度に他ならない。 ■

(3/3) Wiener 過程 (確率過程)

これからやること.

Brown 運動の数学モデルをつくる…Wiener 過程

- Brown 運動：微粒子が水中などで水分子などのランダムな衝突を受け、デタラメに運動する.
- Brown 運動の数学モデル：確率的移動の足し合わせ.
「酔歩 (random walk)」から出発する.
- 確率過程：時間変化する確率変数.
確率過程のベースとなる確率空間はどうか？

(3/3) Wiener 過程 (確率過程): 酔歩

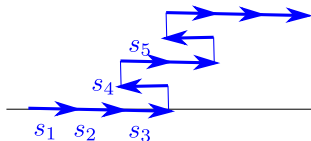
一次元酔歩

$$x_n = x_0 + s_1 + s_2 + \cdots + s_n.$$

- 初期時刻 t_0 に位置 x_0 にいる.
- k ステップ目の時刻 $t_k = t_0 + k\epsilon$ に, s_k だけランダムに変位.

$$\text{平均 } \langle s_k \rangle = 0, \quad \text{分散 } \langle (s_k - \langle s_k \rangle)^2 \rangle = \langle s_k^2 \rangle = \sigma^2.$$

- s_k, s_l ($k \neq l$) は独立である.
- x_n : n ステップ目 (時刻 t_n) における位置.



(3/3) Wiener 過程 (確率過程) : 酔歩

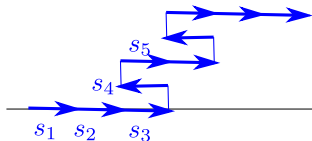
$$x_n = x_0 + s_1 + s_2 + \cdots + s_n.$$

$$\langle (x_n - x_0)^2 \rangle = \left\langle \left(\sum_{i=1}^n s_i \right)^2 \right\rangle = \sum_{i=1}^n \langle s_i^2 \rangle + \sum_{i \neq j} \underbrace{\langle s_i s_j \rangle}_{\langle s_i \rangle \langle s_j \rangle = 0}$$

$$= n\sigma^2 \propto t_n - t_0,$$

$$\langle (x_n - x_0)^2 \rangle = 2D(t_n - t_0) \quad (D > 0 : \text{const.}).$$

標準偏差は (時間)^{1/2} に比例する.



(3/3) Wiener 過程 (確率過程)

Wiener 過程

Brown 運動を数学的な確率過程として表したもの.

一次元酔歩モデルをもとに「Wiener 過程」を構成する.
次の一次元酔歩モデルを考える.

$$x_n = x_0 + s_1 + s_2 + \cdots + s_n.$$

- 初期時刻 t_0 に位置 x_0 にいる.
- k ステップ目の時刻 $t_k = t_0 + k\epsilon$ (時間刻み ϵ) に,
 s_k だけランダムに変位.
変位の大きさ $\sqrt{2D\epsilon}$ ($D > 0$). ... (微小時間 ϵ)^{1/2} に比例
確率 1/2 で正方向へ, 確率 1/2 で負方向へ変位.
- s_k, s_l ($k \neq l$) は独立な確率変数である.
- x_n : n ステップ目 (時刻 t_n) における位置.

(3/3) Wiener 過程 (確率過程)

n ステップ中 k 回正方向へ変位, $n - k$ 回負方向へ変位するとする.
時刻 $t_n = t_0 + n\epsilon$ における位置.

$$a = k\sqrt{2D\epsilon} - (n - k)\sqrt{2D\epsilon} = (2k - n)\sqrt{2D\epsilon} =: m\sqrt{2D\epsilon},$$
$$k = \frac{n + m}{2}, \quad n - k = \frac{n - m}{2}.$$

そのようになる確率.

$$p(k) = {}_n C_k \frac{1}{2^n} = \frac{n!}{[(n + m)/2]! [(n - m)/2]!} \frac{1}{2^n}.$$

これから連続極限を考える.

$$n \rightarrow \infty, \quad \epsilon \rightarrow 0, \quad n\epsilon = t_n - t_0 \quad \text{fixed.}$$

(3/3) Wiener 過程 (確率過程)

時刻 t_n に位置 $a \sim a + \Delta a$ にいる確率を考える.

$$a = k\sqrt{2D\epsilon} - (n - k)\sqrt{2D\epsilon} = (2k - n)\sqrt{2D\epsilon} =: m\sqrt{2D\epsilon}, \quad (1)$$

$$k = \frac{n + m}{2}, \quad n - k = \frac{n - m}{2}. \quad (2)$$

(2) より, n が偶数 (奇数) なら m も偶数 (奇数) である.

よって, m の間隔は 2 である.

(1) より, 幅 Δa 中には到達しうる点は $\frac{\Delta a}{2\sqrt{2D\epsilon}}$ 個ある.

題意の確率.

$$p(a) \cdot \frac{\Delta a}{2\sqrt{2D\epsilon}} = \frac{n!}{[(n + m)/2]![(n - m)/2]!} \frac{1}{2^n} \frac{\Delta a}{2\sqrt{2D\epsilon}}.$$

(3/3) Wiener 過程 (確率過程)

Stirling の公式 $n! \sim \sqrt{2\pi n} \left(\frac{n}{e}\right)^n$ ($n \rightarrow \infty$) より,

$$\begin{aligned} p(a) \cdot \frac{\Delta a}{2\sqrt{2D\epsilon}} &\sim \sqrt{\frac{2}{\pi n}} \left(1 + \frac{m}{n}\right)^{-(n+m)/2} \left(1 - \frac{m}{n}\right)^{-(n-m)/2} \frac{\Delta a}{2\sqrt{2D\epsilon}} \\ &= \frac{\Delta a}{\sqrt{4\pi D(t_n - t_0)}} \underbrace{\left(1 + \frac{m}{n}\right)^{-(n+m)/2} \left(1 - \frac{m}{n}\right)^{-(n-m)/2}}_{(A)}, \end{aligned}$$

$$\begin{aligned} \log(A) &= -\frac{n+m}{2} \log\left(1 + \frac{m}{n}\right) - \frac{n-m}{2} \log\left(1 - \frac{m}{n}\right) \\ &= -\frac{n+m}{2} \left[\frac{m}{n} - \frac{1}{2} \left(\frac{m}{n}\right)^2 + \cdots \right] + \frac{n-m}{2} \left[\frac{m}{n} + \frac{1}{2} \left(\frac{m}{n}\right)^2 + \cdots \right] \\ &\sim -\frac{m^2}{2n} = -\frac{a^2}{4D(t_n - t_0)}, \end{aligned}$$

$$\therefore p(a) \cdot \frac{\Delta a}{2\sqrt{2D\epsilon}} \sim \frac{\Delta a}{\sqrt{4\pi D(t_n - t_0)}} \exp\left[-\frac{a^2}{4D(t_n - t_0)}\right].$$

(3/3) Wiener 過程 (確率過程)

確率過程

時間変化する確率変数 $X(t, \omega) = X_\omega(t) = X_t(\omega)$.

Wiener 過程

確率的 (一次元) 運動をする粒子で次を満たすものの確率過程.

- 時刻 t_0 にある決まった点 x_0 を出発する.
- 時刻 t に位置 $x \sim x + dx$ に到達する遷移確率.

$$\mathcal{G}(t, x | t_0, x_0) dx = \frac{1}{\sqrt{4\pi D(t - t_0)}} \exp \left[-\frac{(x - x_0)^2}{4D(t - t_0)} \right] dx.$$

時刻 t に区間 $[a, b]$ に到達する遷移確率.

$$\int_a^b \mathcal{G}(t, x | t_0, x_0) dx = \frac{1}{\sqrt{4\pi D(t - t_0)}} \int_a^b \exp \left[-\frac{(x - x_0)^2}{4D(t - t_0)} \right] dx.$$

(3/3) Wiener 過程 (確率過程)

Chapman-Kolmogorov 方程式

$$\mathcal{G}(t, x | t_0, x_0) = \int_{-\infty}^{\infty} \mathcal{G}(t, x | t', x') \mathcal{G}(t', x' | t_0, x_0) dx' \quad (t_0 < t' < t).$$

右辺：途中時刻 t' におけるすべての位置 x' についての和（積分）。

時刻 t_1 に位置 $x_1 \sim x_1 + dx_1$ ，時刻 t_2 に位置 $x_2 \sim x_2 + dx_2$ ， \dots ，
時刻 t_n に位置 $x_n + dx_n$ にいる確率 ($t_0 < t_1 < t_2 < \dots < t_n$)。

$$\mathcal{G}(t_n, x_n | \dots | t_1, x_1 | t_0, x_0) dx_n \cdots dx_1,$$
$$\mathcal{G}(t_n, x_n | \dots | t_1, x_1 | t_0, x_0) = \prod_{k=1}^n \mathcal{G}(t_k, x_k | t_{k-1}, x_{k-1}).$$

(3/3) Wiener 過程 (確率過程)

確率過程

時間的に変化する確率変数 $X(t, \omega) = X_t(\omega) = X_\omega(t)$.

Wiener 過程は確率過程のひとつ.

Wiener 過程 $X(t, \omega)$ のベースとなる確率空間 $(\Omega, \mathfrak{B}, P)$ をこれから構成する.

- Ω : 見本経路 ω の空間.

$$\Omega = \mathbb{R}^{[t_0, \infty)} = \{ \text{関数 } [t_0, \infty) \rightarrow \mathbb{R} \}.$$

各 $\omega \in \Omega$ が経路 $X(t, \omega)$ を与える.

- \mathfrak{B} : 事象空間 (σ -加法族).
- $P : \mathfrak{B} \rightarrow [0, 1]$, $P(B)$ ($B \in \mathfrak{B}$) は事象 B の起こる確率.

(3/3) Wiener 過程 : 確率空間 $(\Omega, \mathfrak{B}, P)$ の構成

事象空間 \mathfrak{B} .

- 見本経路の空間 Ω の部分集合からなる集合族.
- σ -加法族である.
 - $\Omega, \emptyset \in \mathfrak{B}$.
 - $B \in \mathfrak{B} \Rightarrow B^c \in \mathfrak{B}$.
 - $B_1, B_2, \dots \in \mathfrak{B} \Rightarrow \bigcup_{n=1}^{\infty} B_n \in \mathfrak{B}$.

確率 P .

- $0 \leq P(B) \leq 1 \quad (\forall B \in \mathfrak{B})$.
- $P(\emptyset) = 0, \quad P(\Omega) = 1$.
- 完全加法性.

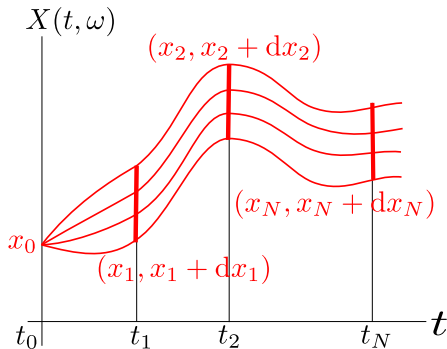
$$B_1, B_2, \dots \in \mathfrak{B}, B_m \cap B_n = \emptyset \ (m \neq n) \Rightarrow P\left(\bigcup_{n=1}^{\infty} B_n\right) = \sum_{n=1}^{\infty} P(B_n).$$

(3/3) Wiener 過程 : 確率空間 $(\Omega, \mathfrak{B}, P)$ の構成

事象空間 \mathfrak{B} : 経路の束からつくる.

$\theta = \{ t_1, t_2, \dots, t_N \}$: 時刻の列 ($t_1 < t_2 < \dots < t_N$) (有限個) .

柱状集合 $\Phi_\theta((x_1, x_1 + dx_1) \times \dots \times (x_N, x_N + dx_N))$
 $:= \{ \omega \in \Omega \mid X(t_1, \omega) \in (x_1, x_1 + dx_1), \dots, X(t_N, \omega) \in (x_N, x_N + dx_N) \}.$



(3/3) Wiener 過程 : 確率空間 $(\Omega, \mathfrak{B}, P)$ の構成

一般化 : Borel 集合 $A \in \mathfrak{B}(\mathbb{R}^N)$ に対し,

柱状集合 $\Phi_\theta(A) := \{ \omega \in \Omega \mid (X(t_1, \omega), \dots, X(t_N, \omega)) \in A \}.$

$\mathfrak{F}_\theta := \{ \Phi_\theta(A) \mid A \in \mathfrak{B}(\mathbb{R}^N) \}$... これは σ -加法族である.

$\mathfrak{F} := \bigcup_{\theta} \mathfrak{F}_\theta$... これは有限加法族だが σ -加法族ではない. .

\therefore 可算無限個の時刻 $t_1 < t_2 < \dots$, Borel 集合 $A_1, A_2, \dots \in \mathfrak{B}(\mathbb{R})$ を用いて

$$\theta_N = \{ t_1, \dots, t_N \}, \quad \Phi_{\theta_N}(A_1 \times \dots \times A_N) \in \mathfrak{F}_{\theta_N}$$

を考えると,

$$\bigcap_{N=1}^{\infty} \Phi_{\theta_N}(A_1 \times \dots \times A_N)$$

は無限個の拘束時刻 t_1, t_2, \dots を持つので, \mathfrak{F} に属さない.

(3/3) Wiener 過程 : 確率空間 $(\Omega, \mathfrak{B}, P)$ の構成

\mathfrak{F} が生成する (\mathfrak{F} を含む最小の) σ -加法族を事象空間 \mathfrak{B} とする.

$$\mathfrak{B} := \sigma[\mathfrak{F}] = \bigcap \{ \mathfrak{A} \mid \mathfrak{A} \text{ は } \sigma\text{-加法族}, \mathfrak{A} \supset \mathfrak{F} \}$$

- \mathfrak{F} を含む σ -加法族として 2^Ω (Ω の部分集合全体) が存在するから, 右辺は意味を持つ.
- 数学の都合から上のように σ -加法族 \mathfrak{B} を導入したのであり, 実用上は一般の \mathfrak{B} の集合 (事象) がどういう形なのか思い悩む必要はない.
実際には, 最初に導入した拘束時刻付きの経路の束

$$\Phi_\theta((x_1, x_1 + dx_1), \dots, (x_N, x_N + dx_N)) \quad (\theta = \{t_1, \dots, t_N\})$$

を事象として思い浮かべればよい.

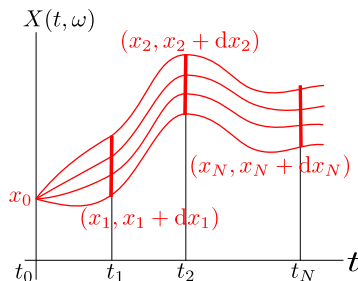
(3/3) Wiener 過程 : 確率空間 $(\Omega, \mathfrak{B}, P)$ の構成

確率 $P : \mathfrak{B} \rightarrow [0, 1]$ を構成する.

1° 柱状集合 $\Phi_\theta(A)$ ($\theta = \{t_1, \dots, t_N\}, A \in \mathfrak{B}(\mathbb{R}^N)$) の確率
($(X(t_1, \omega), \dots, X(t_N, \omega)) \in A$ なる経路 $X(t, \omega)$ をとる確率).

$$P_\theta(\Phi_\theta(A)) := \int \cdots \int_A \mathcal{G}(t_N, x_N | \cdots | t_1, x_1 | t_0, x_0) dx_1 \cdots dx_N,$$

$$\mathcal{G}(t_N, x_N | \cdots | t_1, x_1 | t_0, x_0) = \prod_{k=1}^N \mathcal{G}(t_k, x_k | t_{k-1}, x_{k-1}).$$



柱状集合 $\Phi_\theta(A)$ ($A = (x_1, x_1 + dx_1) \times \cdots \times (x_N, x_N + dx_N)$).

(3/3) Wiener 過程 : 確率空間 $(\Omega, \mathfrak{B}, P)$ の構成

確率 $P : \mathfrak{B} \rightarrow [0, 1]$ を構成する.

1° 柱状集合 $\Phi_\theta(A)$ ($\theta = \{t_1, \dots, t_N\}, A \in \mathfrak{B}(\mathbb{R}^N)$) の確率
($(X(t_1, \omega), \dots, X(t_N, \omega)) \in A$ なる経路 $X(t, \omega)$ をとる確率).

$$P_\theta(\Phi_\theta(A)) := \int \cdots \int_A \mathcal{G}(t_N, x_N | \cdots | t_1, x_1 | t_0, x_0) dx_1 \cdots dx_N,$$

$$\mathcal{G}(t_N, x_N | \cdots | t_1, x_1 | t_0, x_0) = \prod_{k=1}^N \mathcal{G}(t_k, x_k | t_{k-1}, x_{k-1}).$$

とくに,

$$\begin{aligned} P_\theta(\Phi_\theta((a_1, b_1) \times \cdots \times (a_N, b_N))) \\ = \int_{a_N}^{b_N} \cdots \int_{a_1}^{b_1} \mathcal{G}(t_N, x_N | \cdots | t_1, x_1 | t_0, x_0) dx_1 \cdots dx_N, \end{aligned}$$

(3/3) Wiener 過程 : 確率空間 $(\Omega, \mathfrak{B}, P)$ の構成

2° $\mathfrak{F} = \bigcup_{\theta} \mathfrak{F}_{\theta}$ 上の確率 P_0 : $P_0(\Phi_{\theta}(A)) := P_{\theta}(\Phi_{\theta}(A))$.

(問題) 異なる θ, θ' に対して, $\Phi_{\theta}(A), \Phi_{\theta'}(A')$ の和集合・共通部分などをどうやって定義するか?

$\theta = \{t_1, \dots, t_N\}$, $\theta' = \{t'_1, \dots, t'_{N'}\}$ に対し,

$\theta \vee \theta' := \{t_1, \dots, t_N, t'_1, \dots, t'_{N'}\}$ を時間順に並べ直したもの}.

$\theta \vee \theta' = \{t''_1, \dots, t''_L\}$ とすると, 一般には $L \leq N + N'$

(t_i, t'_j の中に同じものがあることがあるから).

そして, 次の同一視を行う.

$$\Phi_{\theta}(A) = \Phi_{\theta \vee \theta'}(A \times \mathbb{R}^{N-L}),$$

$$\Phi_{\theta'}(A') = \Phi_{\theta \vee \theta'}(A' \times \mathbb{R}^{N'-L}).$$

こうすれば, $\Phi_{\theta}(A) \cap \Phi_{\theta'}(A')$, $\Phi_{\theta}(A) \cup \Phi_{\theta'}(A')$ が定義できる.

(3/3) Wiener 過程 : 確率空間 $(\Omega, \mathfrak{B}, P)$ の構成

2° $\mathfrak{F} = \bigcup_{\theta} \mathfrak{F}_{\theta}$ 上の確率 P_0 : $P_0(\Phi_{\theta}(A)) := P_{\theta}(\Phi_{\theta}(A))$.

(問題) 異なる θ, θ' に対して, $\Phi_{\theta}(A), \Phi_{\theta'}(A')$ の和集合・共通部分などをどうやって定義するか?

例 : $\theta = \{t_1, t_2, t_3\}$, $\theta' = \{t_1, t_2, t_4\}$ ($t_1 < t_2 < t_3 < t_4$).

$$\theta \vee \theta' = \{t_1, t_2, t_3, t_4\},$$

$$\Phi_{\theta}(A) = \Phi_{\theta \vee \theta'}(A \times \mathbb{R})$$

$$= \{\omega \in \Omega \mid (X(t_1, \omega), X(t_2, \omega), X(t_3, \omega)) \in A \ \& \ X(t_4, \omega) \in \mathbb{R}\},$$

$$\Phi_{\theta'}(A') = \Phi_{\theta \vee \theta'}(A' \times \mathbb{R})$$

$$= \{\omega \in \Omega \mid (X(t_1, \omega), X(t_2, \omega), X(t_4, \omega)) \in A' \ \& \ X(t_3, \omega) \in \mathbb{R}\}.$$

(3/3) Wiener 過程 : 確率空間 $(\Omega, \mathfrak{B}, P)$ の構成

先程の同一視を行うと, P_0 は次の整合性を満たす.

$$P_0(\Phi_\theta(A)) = P_\theta(\Phi_\theta(A)) = P_{\theta \vee \theta'}(\Phi_{\theta \vee \theta'}(A \times \mathbb{R}^{N-L})).$$

先程の同一視によって矛盾は生じない.

$$\begin{aligned} \therefore \int_{-\infty}^{\infty} \mathcal{G}(\cdots | t_{k+1}, x_{k+1} | t_k, x_k | t_{k-1}, x_{k-1} | \cdots) dx_k \\ = \mathcal{G}(\cdots | t_{k+1}, x_{k+1} | t_{k-1}, x_{k-1} | \cdots). \end{aligned}$$

こうして, 有限加法族 $\mathfrak{F} = \bigcup_{\theta} \mathfrak{F}_\theta$ の上に確率 P_0 が well-defined に定義された.

3° あとは P_0 を σ -加法族 $\mathfrak{B} = \sigma[\mathfrak{F}]$ 上の確率 P に拡張するだけである. これは「Kolmogorov の拡張定理」により可能であることが知られている.

以上により, 所望の確率空間 $(\Omega, \mathfrak{B}, P)$ を構成することができた.

試行をたくさん繰り返すと…

- 大数の法則.
1 回の試行ではわからない確率が, 試行の繰り返しによりわかってくる.

事象 E の実現回数の割合 \simeq 事象 E の確率.

- 中心極限定理.
たくさん試行を繰り返すと, 試行結果の和は正規分布に近づく.
- Wiener 過程: Brown 運動の数学的モデル, 酔歩モデルから構成 (これもたくさんの試行の繰り返し).
- Wiener 過程 (確率過程) のベースとなる確率空間の構成.